

ارزیابی الگوریتم بهینه‌یابی نیروی مرکزی در بهره‌برداری از سیستم‌های چندمخزنه و معرفی الگوریتم بهینه‌یابی نیروی مرکزی تکرارشونده

مهمنشی عمان شرف، (همار ۱۳۹۷) دوری ۲ - ۴، شماره ۱ / ۱ ص. ۱۱۵-۱۲۰، (پادشاهت فقیر)

حسن توایی‌بوده^{*} (استادیار)

پرستو همه‌زاده (دانشجوی کارشناسی ارشد)

حاجت‌الله یونسی (استادیار)

امیرجمزه حقی آنی (دانشیار)

دانشکده‌ی مهندسی آب، دانشگاه لرستان

در نوشتار حاضر، الگوریتم بهینه‌یابی نیروی مرکزی (CFO) به منظور بهره‌برداری بهینه از سیستم‌های چندمخزنه ارزیابی شده است. به دلیل ضعف الگوریتم مذکور در حل مسائل بهره‌برداری، تغییراتی در آن ایجاد و الگوریتم بهینه‌یابی نیروی مرکزی تکرارشونده (RCFO) پیشنهاد شده است. در ابتدا، یک مسئله‌ی ۴ مخزنی بهینه‌سازی شد. تابع هدف مسئله با استفاده از روش‌های CFO و RCFO به ترتیب $45/0$ و $10/0$ درصد اختلاف با بهینه‌ی مطلق دارند. پس از موفقیت الگوریتم RCFO در حل سیستم ۴ مخزنی، یک سیستم ۱۰ مخزنی انتخاب شد. تابع هدف به دست آمده از الگوریتم‌های CFO و RCFO به ترتیب $13/0$ و $7/1$ درصد اختلاف با بهینه‌ی مطلق دارند. با توجه به موفقیت الگوریتم RCFO در حل سیستم ۴ و 10 مخزنی می‌توان نتیجه گرفت که الگوریتم RCFO، پتانسیل مناسبی جهت کاربرد در حل مسائل پیچیده‌ی بهره‌برداری از سیستم‌های چندمخزنی واقعی دارد.

torabi1976@gmail.com
swallow_kaspian@yahoo.com
yonesi.h@lu.ac.ir
haghiahi@yahoo.com

وازگان کلیدی: الگوریتم بهینه‌یابی نیروی مرکزی، الگوریتم فراکاوشی، بهره‌برداری چندمخزنی، مدل برنامه‌ریزی خطی.

۱. مقدمه

NLP است و زمانی استفاده می‌شود که تابع هدف و قیود، غیرخطی باشد.^[۵] در DP، مسئله‌ی بهینه‌سازی و متغیرهای آن به چند مسئله‌ی بهینه‌سازی کوچک تر تقسیم می‌شود که حل مرحله‌ی مرحله‌ی آن منجر به حل مسئله‌ی اصلی خواهد شد.^[۶] به الگوریتم‌های فراکاوشی نیز در سال‌های اخیر توجه شده است که از میان آنها می‌توان به الگوریتم مورچگان^۴ (ACO)،^[۷] الگوریتم ژنتیک^۵ (GA)،^[۸] بهینه‌یابی جفتگیری زنبور عسل^۶ (HBMO)،^[۹] بهینه‌سازی ازدحام ذرات^۷ (PSO)^[۱۰] و جستجوی هارمونی (HSA).^[۱۱] اشاره کرد.

علاوه بر روش‌های مذکور در سال ۲۰۰۷، الگوریتم بهینه‌یابی نیروی مرکزی^۸ (CFO) ارائه شده،^[۱۲] و از آن برای حل ۲۳ تابع شناخته شده استفاده شده و نتایج رضایت‌بخشی در مقایسه با سایر الگوریتم‌های فراکاوشی به دست آمده است.^[۱۳] روش CFO برای بهینه‌یابی باند در الکترونیک، طراحی آتن مایکرواستریپ و بهینه‌سازی شبکه‌ی آب آشامیدنی استفاده شده است،^[۱۴] و نتایج نشان داده است که روش CFO قادر به حل مسائل پیچیده‌ی بهینه‌سازی است.

بهینه‌سازی سیستم‌های چندمخزنی، پیچیدگی‌های فراوانی دارد و افزایش تعداد

افزایش روزافزون جمعیت و محدودیت منابع آب‌های سطحی، ضرورت مدیریت صحیح از مخازن سدها را ایجاد می‌کند. مطالعات زیادی در زمینه‌ی بهینه‌سازی برداشت از سیستم‌های تک‌مخزنی انجام شده است.^[۱۵] روش‌های بهینه‌سازی مختلفی برای بهره‌برداری از مخازن معرفی شده است که می‌توان آنها را به این صورت دسته‌بندی کرد:^[۱۶] ۱. روش‌های مبتنی بر برنامه‌ریزی خطی (LP)،^[۱] ۲. برنامه‌ریزی غیرخطی (NLP)^[۲]؛ ۳. روش‌های مبتنی بر برنامه‌ریزی پویا (DP)^[۳] و ۴. الگوریتم‌های فراکاوشی. روش LP یکی از روش‌های پرکاربرد جهت بهینه‌سازی بهره‌برداری از مخازن است. این روش تاکنون در بهینه‌سازی بهره‌برداری از مخازن با اهداف مختلف استفاده شده است.^[۱۷] اما استفاده از روش LP با محدودیت‌های روبه‌روست و فقط می‌توان آن را برای مسئله‌ی که تابع هدف و قیود خطی باشند، به کار بردن. یکی دیگر از روش‌های مورد استفاده در بهره‌برداری از مخازن، استفاده از مدل

* نویسنده مسئول

تاریخ: دریافت ۵ آوریل ۱۳۹۴، /صلاحیه ۱۲ آوریل ۱۳۹۵، پذیرش ۱۶ آوریل ۱۳۹۵.

DOI:10.24200/J30.2018.1331

جدول ۱. جریان ورودی به مخازن ۱ و ۲.

دوره	مخزن ۱	مخزن ۲	مخزن ۳	مخزن ۴	مخزن ۵	مخزن ۶	مخزن ۷	مخزن ۸	مخزن ۹	مخزن ۱۰	مخزن ۱۱	مخزن ۱۲
IN _۱	۰,۵	۱	۱,۲۵	۱,۲۵	۲	۲,۵	۳	۲	۲	۱	۰,۷۵	۱,۷۵
IN _۲	۰,۴	۰,۷	۱,۳	۲,۵	۳	۳,۵	۴	۲	۲	۰,۷	۱	۱,۲

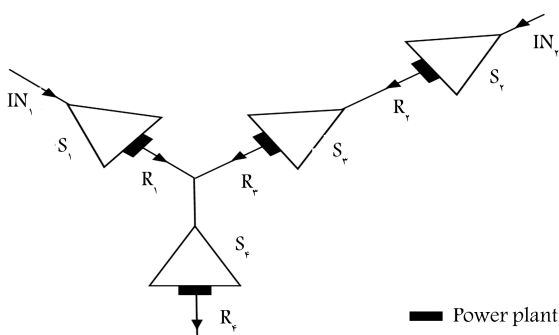
۱.۲. شرح مسئله‌ی ۴ مخازن

مسئله‌ی ۴ مخازن، اولین بار در سال ۱۹۷۴ مطرح شد^[۲۴] که ایده‌ی اصلی آن از سیستم ۴ مخازنی معروفی شده در پژوهشی در سال ۱۹۷۱ اخذ شده است (شکل ۱).^[۲۵] جریان ورودی IN_۱ و IN_۲ فقط به دو مخزن وارد می‌شود و مقادیر آن در جدول ۱ نشان داده شده است. حجم اولیه و نهایی برای مخازن ۱ تا ۳ برابر ۶ و برای مخزن ۴، برابر با ۸ بوده است. کمینه‌ی رهاسازی برای همه مخازن، ۰,۰۵ و بیشینه‌ی آن برای مخزن ۱ برابر با ۴، برای مخزن‌های ۲ و ۳ برابر با ۰,۴۵ و برای مخزن ۴، ۰,۸ بوده است (جدول ۲). کمینه‌ی حجم مخزن برای تمامی مخازن در همه ۱۲ دوره برابر با ۱ بوده است. بیشینه‌ی حجم مخازن نیز در جدول ۲ نشان داده شده است.

رابطه‌ی پیوستگی در هر مخزن (i) و در هر دوره (j) به صورت رابطه‌ی ۱ تعریف شده است:

$$S_{(i,j)} = S_{(i,j)} + I_{(i,j)} + M \cdot R_{(i,j)} \quad i = 1, \dots, 4; j = 1, \dots, 12 \quad (1)$$

که در آن، S حجم مخزن، I جریان ورودی، R رهاسازی ماهانه و M ماتریس



شکل ۱. سیستم ۴ مخزن معرفی شده در سال ۱۹۷۴.^[۲۴]

جدول ۲. بیشینه‌ی حجم مخازن.

دوره	مخزن ۱	مخزن ۲	مخزن ۳	مخزن ۴
۱۵	۸	۱۷	۱۲	۲
۱۵	۸	۱۵	۱۲	۳
۱۵	۸	۱۵	۱۰	۴
۱۵	۸	۱۵	۹	۵
۱۵	۸	۱۲	۸	۶
۱۵	۸	۱۲	۸	۷
۱۵	۸	۱۵	۹	۸
۱۷	۸	۱۷	۱۰	۹
۱۵	۸	۱۸	۱۰	۱۰
۱۵	۸	۱۸	۱۲	۱۱
۱۵	۸	۱۸	۱۲	۱۲

مخازن نیز به پیچیدگی‌های این قبیل مسائل می‌افزاید. در سال‌های اخیر، به بهینه‌سازی سیستم‌های چندمخزنی مبنای آب توجه زیادی شده است. الگوریتم GA توسعه یافته برای سیاست بهره‌برداری از سیستم‌های چندمخزنی استفاده و پس از مقایسه‌ی نتایج آن با روش DDDP، برتری GA مشخص شد.^[۱۷] به منظور کمینه‌سازی کمیود آب کشاورزی سدی واقع در مالزی، دو الگوریتم کلونی زنبور عسل (ABC) و جستجوی گرانشی (GSA) مقایسه شد و نتایج نشان داد که الگوریتم ABC با داشتن ویژگی‌هایی، از جمله: همگرایی سریع‌تر، اطمینان‌پذیری بیشتر و آسیب‌پذیری کمتر برای بهره‌برداری از مخازن مناسب‌تر است.^[۱۸] در زمینه‌ی بهینه‌سازی سیستم‌های چندمخزنی (۲۰۰۴) نیز پیشنهاد شد که برای مدل‌سازی بهتر مبنای آب از روش‌های رایانه‌ی استفاده شود.^[۱۹] همچنین الگوریتم ACO (۲۰۰۷) برای بهره‌برداری از یک سیستم ۴ مخزن در فضای تصمیم‌گیری کمیود سدی به کار گرفته شد که توانست با دقت بیشتر و در زمان محاسبات کمتری نسبت به GA، مسئله را بهینه‌سازی کند.^[۲۰] الگوریتم HSA (۲۰۱۳) نیز برای بهره‌برداری از سیستم چندمخزنی در محیط مشابهی به دست آمد و نشان از بالا بدن سرعت همگرایی و اطمینان‌پذیری بالای الگوریتم مذکور داشت.^[۲۱] در مطالعه‌ی دیگر (۲۰۱۳)، بهینه‌سازی در سیستم ۴ مخزنی با استفاده از ۳ روش مختلف بهینه‌سازی از دحام ذرات مقدب بررسی شد و روش‌های پیشنهادی در مقایسه با الگوریتم PSO نتایج بهتری را ارائه کردند و بهترین نتیجه برای حالتی که رهاسازی به عنوان متغیر تصمیم انتخاب شد، به دست آمد. همچنین روش‌های مذکور نسبت به جمعیت اولیه و اندازه‌ی آن حساس نبودند و سرعت همگرایی بالایی داشتند.^[۲۲] مطالعه‌ی دیگری در همان سال، با استفاده از ACO در سه حالت مقدب انجام شد و نتایج نشان از برتری روش‌های مقدب داشت.^[۲۳]

تاکمون گزارشی از کاربرد الگوریتم CFO در بهره‌برداری از سیستم‌های چندمخزنی ارائه نشده است. در نوشتار حاضر، پس از تشریح الگوریتم CFO از آن به منظور بهره‌برداری بهینه از یک سیستم ۴ مخزن استفاده شده است. در ادامه، تغییراتی در آن ایجاد شده و الگوریتم بهینه‌یابی نیروی مرکزی تکرار شونده (RCFO) معرفی و پس از آن یک سیستم ۱۰ مخزن با استفاده از هر دو روش، بهینه‌سازی شده است.

۲. مواد و روش‌ها

در نوشتار حاضر، ابتدا مسئله‌ی ۴ مخزن و سپس ۱۰ مخزن به همراه ورودی‌ها و روابط موردنیاز ارائه شده است. در هر دو مسئله، رهاسازی از مخازن به عنوان متغیر تصمیم در نظر گرفته شده است؛ پس از آن الگوریتم CFO به همراه تمامی روابط موردنیاز، مراحل جستجو و نمودار الگوریتم ارائه شده است. در ادامه، پس از RCFO و پیدا کردن نقاط ضعف آن، تغییراتی در آن ایجاد و الگوریتم معرفی شده است. برای پیدا کردن پارامترهای بهینه از آنالیز حساسیت استفاده شده است. نتایج بهینه‌ی مطلق تابع هدف برای هر دو مسئله که ماهیت خطی داشتند، با استفاده از لینگو که یک مدل برنامه‌ریزی خطی است، به دست آمده است.

متغیرهای تصمیم معادل 120° بوده است. هدف از بهره‌برداری، بیشینه‌سازی تولید انرژی در کل دوره است. جریان رودخانه فقط به مخازن $3, 5, 1, 2, 6, 8$ وارد می‌شود. قیود مستقل، شامل: حجم و رهاسازی کمینه و بیشینه برای هر یک از مخازن است. یک قید دیگر مربوط به حجم نهایی وجود دارد، که باید در آن حجم نهایی مخزن با حجم اولیه برابر باشد.

رابطه‌ی پیوستگی در هر مخزن (i) و در هر دوره (j) به صورت رابطه‌ی ۹ تعریف شده است:

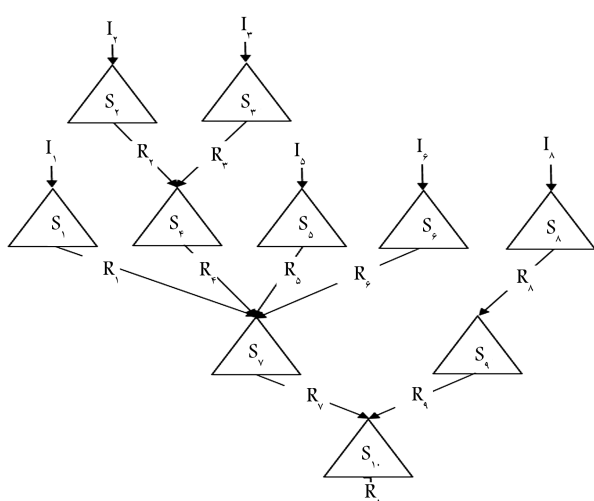
$$S_{(i,j+1)} = S_{(i,j)} + I_{(i,j)} + M \cdot R_{(i,j)} \quad i = 1, \dots, 10; j = 1, \dots, 12 \quad (9)$$

که در آن، S حجم مخزن، I جریان ورودی، R رهاسازی ماهانه و M ماتریس روابط مخازن است که از رابطه‌های 10 و 11 بدست می‌آید:

$$M = \begin{bmatrix} -1 & 0 & 0 & 0 & 0 & 0 & 0 & 0 & 0 & 0 \\ 0 & -1 & 0 & 0 & 0 & 0 & 0 & 0 & 0 & 0 \\ 0 & 0 & -1 & 0 & 0 & 0 & 0 & 0 & 0 & 0 \\ 0 & 1 & 1 & -1 & 0 & 0 & 0 & 0 & 0 & 0 \\ 0 & 0 & 0 & 0 & -1 & 0 & 0 & 0 & 0 & 0 \\ 0 & 0 & 0 & 0 & 0 & -1 & 0 & 0 & 0 & 0 \\ 1 & 0 & 0 & 1 & 1 & 1 & -1 & 0 & 0 & 0 \\ 0 & 0 & 0 & 0 & 0 & 0 & -1 & 0 & 0 & 0 \\ 0 & 0 & 0 & 0 & 0 & 0 & 1 & -1 & 0 & 0 \\ 0 & 0 & 0 & 0 & 0 & 1 & 0 & 1 & -1 & 0 \end{bmatrix} \quad (10)$$

$$\text{Max } I = \sum_{i=1}^{10} \sum_{j=1}^{12} b_{(i,j)} \cdot R_{(i,j)} \quad (11)$$

که در آن، تابع هدف b ضریب سود حاصل از هر یک از مخازن است. جزئیات بیشتر در منبع اصلی ارائه شده است.^[۲۷] در مسئله‌ی حاضر، نیز تابع جریمه و ضرایب آن مشابه سیستم 4 مخزنی تعریف شده‌اند.



شکل ۲. سیستم 10 مخزنی طراحی شده در سال 1979 .^[۲۷]

روابط مخازن به صورت رابطه‌ی 2 است:

$$M = \begin{bmatrix} -1 & 0 & 0 & 0 \\ 0 & -1 & 0 & 0 \\ 0 & 1 & -1 & 0 \\ 1 & 0 & 1 & -1 \end{bmatrix} \quad (2)$$

تابع هدف در رابطه‌ی 3 نشان داده شده است که هدف از حل آن بیشینه‌سازی مقدار تابع براساس رهاسازی بهینه است.

$$\text{Max } I = \sum_{i=1}^{10} \sum_{j=1}^{12} b_{(i,j)} \cdot R_{(i,j)} \quad (3)$$

که در آن، مقادیر ضرایب سود $(i,j) b$ در سال 1974 ارائه شده است.^[۲۴] برای هر یک از مخازن، قیود مربوط به رهاسازی، حجم مخزن (روابط 4 و 5) و حجم نهایی تعریف شده است:

$$S_{(i,j)}^{\min} \leq S_{(i,j)} \leq S_{(i,j)}^{\max}; \quad j = 2, 3, \dots, 12 \quad (4)$$

$$S_{(i,j)}^{\min} \leq S_{(i,j)} \leq S_{(i,j)}^{\max}; \quad j = 1, 2, \dots, 12 \quad (5)$$

در آنها، S^{\max} و S^{\min} به ترتیب حجم مخزن کمینه و بیشینه؛ و R^{\min} و R^{\max} به ترتیب رهاسازی کمینه و بیشینه از مخزن هستند.

برای جلوگیری از ورود جواب‌های نشدنی به مسئله، مطالعات گسترش‌دهی انجام شده و یکی از روش‌های مذکور، استفاده از توابع جریمه است.^[۲۵] تابع جریمه به صورت رابطه‌ی 6 تعریف می‌شود:

$$P = C \cdot \Delta^n \quad (6)$$

که در آن، P مقدار جریمه، Δ میزان تخطی از قید و C و n انتخابی هستند. در پژوهش حاضر، برای هر دو مسئله، ضریب C برابر با 40 در نظر گرفته شده است.^[۱۷] توان نیز به منظور جلوگیری از کوچک شدن جریمه‌های کمتر از 1 ، همان مقدار 1 انتخاب شد. رابطه‌ی 7 ، تابع جریمه را برای حجم مخزن نشان می‌دهد. قیود رهاسازی نیز به همین شیوه تعریف شده‌اند. با درنظر گرفتن ذخیره‌ی هدف f برای دوره‌ی آخر در هر مخزن i ، تابع جریمه مربوط به حجم نهایی به صورت رابطه‌ی 8 بیان می‌شود:

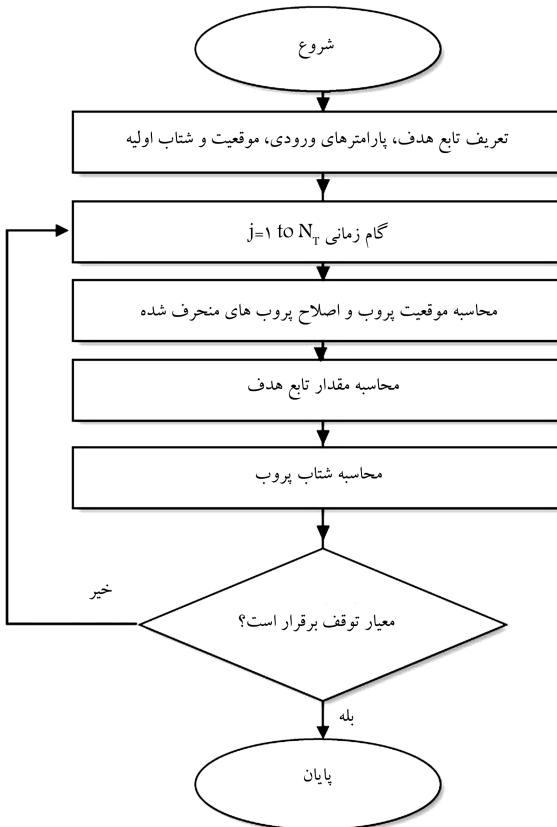
$$P = \begin{cases} c_0 \cdot (1 - S_i / S^{\min})^n & \text{if } S_i < S^{\min} \\ c_0 \cdot (S_i / S^{\max} - 1)^n & \text{if } S_i > S^{\max} \\ \vdots & \text{if } S_i \geq S^{\min} \& S_i \leq S^{\max} \end{cases} \quad (7)$$

$$P_{12} = \begin{cases} c_0 \cdot (1 - S_{(i,12)} / f_{(i)})^n & \text{if } S_{(i,12)} < f_{(i)} \\ c_0 \cdot (S_{(i,12)} / f_{(i)} - 1)^n & \text{if } S_{(i,12)} > f_{(i)} \\ \vdots & \text{else} \end{cases} \quad (8)$$

که در آنها، f حجم نهایی برای هر یک از مخازن در انتهای دوره است که این مقدار برای مخازن 1 تا 3 برابر با 6 و برای مخزن 4 برابر 8 در نظر گرفته شده است.

۲.۲. شرح مسئله‌ی 10 مخزنی

مسئله‌ی 10 مخزنی که از 10 مخزن تشکیل شده است (شکل ۲)، اولین بار در سال 1979 مطرح شد.^[۲۶] کل دوره‌ی زمانی در مسئله‌ی حاضر، 12 دوره‌ی 2 ساعته و



شکل ۳. الگوریتم CFO.

که در آنها، x_i^{\min} و x_i^{\max} به ترتیب کران پایین و کران بالای متغیرهای تصمیم و عامل تغییر موقعیت پرور هستند. عامل مهم دیگر در CFO، توزیع مکان اولیه‌ی پرور هاست که می‌تواند به صورت قطری یا سطروی در امتداد بعداً چیزیده شود، با توجه به حساسیت الگوریتم CFO به پرورهای اولیه، بهتر است بخشی از پرور ها به صورت قطری و بخشی دیگر به صورت سطروی انتخاب شوند.^[۲۸] شکل ۳، فلوچارت الگوریتم CFO را نشان می‌دهد.

۴.۲. الگوریتم بهینه‌یابی نیروی مرکزی تکرارشونده

CFO در تابع مختلف برتری خود را در مقایسه با سایر الگوریتم ها مانند GA یا PSO نشان داده است.^[۱۳] یکی از ویژگی های CFO، بالا بودن سرعت همگرایی آن در شروع جستجو است؛ اما با افزایش تکرارها، سرعت همگرایی کاهش پیدا می‌کند. به همین منظور در برخی از مراحل آن تغییراتی به این شرح اعمال شده است:

۱.۴.۲. نرم‌افزاری شتاب

شتاب عامل اصلی حرکت در CFO، از پارامترهای α ، β و G تشکیل شده است. در پژوهشی در سال ۲۰۱۰، نشان داده شده است که مقادیر α ، β و G برابر با 2 و F_{rep} با 0.5 بهترین عملکرد را در اغلب موارد دارند.^[۱۳] در مسائل محدود (مانند مسئله‌ی حاضر) وجود تابع جریمه باعث افزایش تفاوت وزن بین پرور ها و در نتیجه ایجاد شتاب های متغیر خواهد شد. شتاب های بزرگ باعث خروج پرور ها از فضای تصمیم می‌شوند که می‌توانند به کمک روابط ۱۷ و ۱۸ بازگردانده شوند؛ اما فرایند مذکور در حل مسائل پیچیده و مقید بی‌نتیجه خواهد بود، زیرا الگوریتم همواره در حال بازگرداندن پرور ها، بدون یافتن نقطه‌ی بهینه است. پیشنهاد می‌شود

۳.۲. الگوریتم بهینه‌یابی نیروی مرکزی

الگوریتم بهینه‌یابی نیروی مرکزی اولین بار در سال ۲۰۰۷ مطرح شد.^[۱۲] فضای تصمیم در CFO به صورت $x_i^{\min} \leq x_i \leq x_i^{\max}$ تعریف شده است که در آن، $i = 2, 1, \dots, N_d$ تعداد بعد است. الگوریتم CFO با پرواز گروهی از پرور ها که مسیرهایشان توسط دو معادله‌ی جبری حرکت (موقعیت و شتاب) تعیین می‌شود، جستجو را انجام می‌دهد. بردار موقعیت یک پرور به صورت رابطه‌ی ۱۲ است:

$$\vec{R}_j^p = \sum_{m=1}^{N_d} X_m^{p,j} \hat{e}_m \quad (12)$$

که در آن $X_m^{p,j}$ مختصات m امین بعد از پرور در گام زمانی j و \hat{e}_m بردار یکه در طول محور x_m است. در فضای تصمیم، بردارهای موقعیت پرور تغییر می‌کنند، تا زمانی که تمام پرور ها در اطراف بزرگترین جرم (پرور) مستقر شوند. هر پرور با بردار موقعیت $\vec{R}_{j-1}^p \in R^{N_d}$ در گام زمانی $۱ - j$ بردار شتاب \vec{a}_{j-1}^p را تحت تأثیر نیروهای گرانشی ایجاد شده به وسیله سایر پرور ها تجربه می‌کند. \vec{a}_{j-1}^p به صورت رابطه‌ی ۱۳ است:

$$\begin{aligned} \vec{a}_{j-1}^p &= G \sum_{\substack{k=1 \\ k \neq p}}^{N_p} U(M_{j-1}^k - M_{j-1}^p) \cdot (M_{j-1}^k - M_{j-1}^p)^{\alpha} \\ &\quad \frac{(\vec{R}_{j-1}^k - \vec{R}_{j-1}^p)}{\|\vec{R}_{j-1}^k - \vec{R}_{j-1}^p\|^{\beta}} \end{aligned} \quad (13)$$

که در آن N_p تعداد پرور ها، p شماره‌ی پرور، j گام زمانی محاسبات؛ α ، β و G ثابت های CFO هستند.^(۱) $M_{j-1}^p = f(x_1^{p,j-1}, x_2^{p,j-1}, \dots, x_{N_d}^{p,j-1})$ مقدار تابع هدف بر حسب پرور p در گام زمانی $۱ - j$ است و U تابع پله‌ی یکه است که به صورت رابطه‌ی ۱۴ تعریف می‌شود:

$$U(x) = \begin{cases} 1 & \text{if } x \geq 0 \\ 0 & \text{otherwise} \end{cases} \quad (14)$$

و $\|\vec{R}_{j-1}^k - \vec{R}_{j-1}^p\|^{\beta}$ در واقع اندازه‌ی فاصله‌ی بین موقعیت های پرور p و k است که به صورت رابطه‌ی ۱۵ محاسبه می‌شود:

$$\|\vec{R}_{j-1}^k - \vec{R}_{j-1}^p\| = \sqrt{\sum_{m=1}^{N_d} (R_{j-1}^{k,m} - R_{j-1}^{p,m})^2} \quad (15)$$

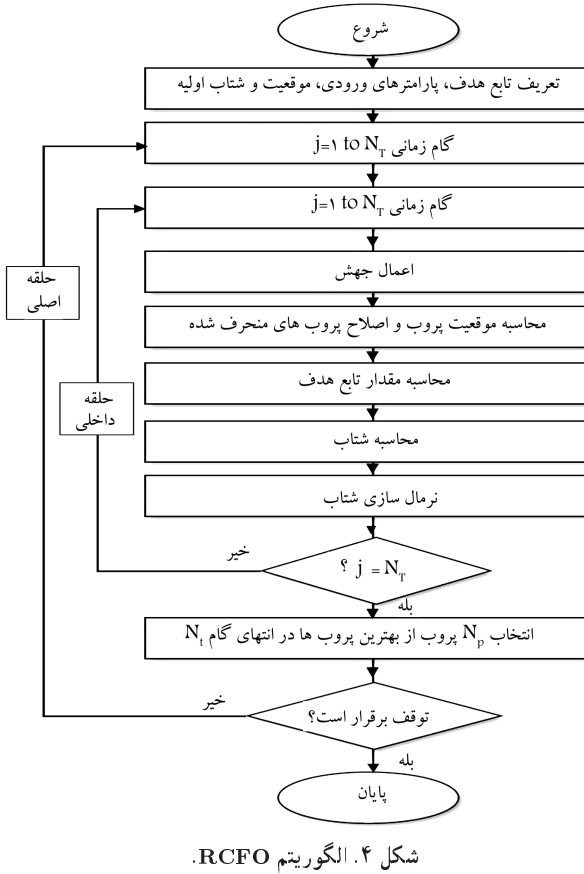
اگر تعداد کل گام های زمانی برابر با Nt باشد موقعیت جدید پرور به صورت رابطه‌ی ۱۶ تعریف می‌شود:

$$\vec{R}_j^p = \vec{R}_{j-1}^p + \frac{1}{\gamma} \vec{a}_{j-1}^p \Delta t, \quad j \geq ۱ \quad (16)$$

که در آن، Δt فاصله‌ی زمانی گام هاست و مقدار آن در نظر گرفته شده است. پرور ها ممکن است به موقعیتی خارج از فضای تصمیم جای به جا شوند. رابطه‌های ۱۷ و ۱۸ برای بازسازی پرور ها به کار می‌روند:^[۱۳]

$$\text{if } \vec{R}_{j,i}^p < x_i^{\min} \text{ then } \vec{R}_{j,i}^p = \max(x_i^{\min} + F_{rep}(\vec{R}_{j-1,i}^p - x_i^{\min}), x_i^{\min}) \quad (17)$$

$$\text{if } \vec{R}_{j,i}^p > x_i^{\max} \text{ then } \vec{R}_{j,i}^p = \min(x_i^{\max} - F_{rep}(x_i^{\max} - \vec{R}_{j-1,i}^p), x_i^{\max}) \quad (18)$$



شکل ۴. الگوریتم RCFO.

۴.۴.۲. اضافه کردن حلقه‌ی تکرار اصلی

بعد از اجرای حلقه‌ی داخلی، برنامه به همراه ماتریس تشکیل یافته از بهترین پربووب‌ها، وارد حلقه‌ی تکرار اصلی می‌شود. در حلقه‌ی مذکور، اگر شرایط توقف برقرار بود، برنامه متوقف خواهد شد. شکل ۴، مراحل اجرای الگوریتم RCFO را نشان می‌دهد.

۳. نتایج و بحث

در این قسمت ابتدا مسئله‌ی ۴ مخزنی و سپس مسئله‌ی ۱۰ مخزنی با استفاده از روش‌های CFO و RCFO حل و نتایج با بهینه‌ی مطلق مقایسه شده است.

۱.۱. حل مسئله‌ی ۴ مخزنی

بهینه‌ی مطلق تابع هدف برای مسئله‌ی حاضر که ماهیتی خطی دارد، با استفاده از نرم‌افزار لینگو برابر با $30.8/29$ است. با استفاده از الگوریتم CFO در بهترین حالت، نتیجه‌ی $30.6/89$ حاصل شده است. در ادامه از الگوریتم RCFO برای حل مسئله‌ی ۴ مخزنی استفاده شده است.

۱.۱.۱. آنالیز حساسیت در روش RCFO

به منظور پیدا کردن مقادیر بهینه‌ی α و درصد جهش $\beta = G = 2$ به منظور پیدا کردن مقادیر بهینه‌ی α و درصد جهش $\beta = G = 2$ ثابت درنظر گرفته شده‌اند. [۲۱] شکل ۵، آنالیز حساسیت را برای یافتن α بهینه نشان می‌دهد که با توجه به آن، بهترین α در محدوده‌ی $5^{\circ}/20^{\circ}$ قرار دارد. به ازاء مقادیر بزرگ‌تر از 1° ، تغییرات تابع هدف تقریباً یکسان است و برنامه قادر به ارائه‌ی جواب مناسب نیست.

ضرایب α ، β و G به‌گونه‌ی انتخاب شوند که مقادیر شتاب متناسب با محدوده‌ی فضای تصمیم باشند. برای کاهش حساسیت شتاب به ضرایب می‌توان از نرم‌افزاری شتاب استفاده کرد. در مسئله‌ی حاضر به منظور محدود کردن شتاب‌ها، رابطه‌ی نرم‌افزاری به صورت رابطه‌ی ۱۹ در نظر گرفته شده است:

$$a_{norm} = \frac{a_{j-1}}{(a_{max} - a_{min})} \times w \quad (19)$$

که در آن، a_{min} و a_{max} بیشترین و کمترین شتاب تجربه شده توسط پربووب‌هاست. اگر اختلاف بین a_{min} و a_{max} زیاد باشد، شتاب‌های نرم‌افزار شده‌ی سیار کوچک به دست می‌آیند. بهمین منظور لازم است که معادله‌ی نرم‌افزاری شتاب در ضرایب w ضرب شود که مقدار آن متناسب با نوع مسئله و مقادیر شتاب متفاوت خواهد بود. در تکرارهای مذکور، ممکن است شتاب همه‌ی پربووب‌ها صفر شود و همگی در یک بهینه‌ی محلی قرار گیرند؛ اگر اختلاف بین a_{min} و a_{max} برابر با صفر شد، می‌توان رابطه‌ی ۲۰ را به‌کار برد:

$$a_{j-1} = a_{j-1} + rand \quad (20)$$

که در آن، a_{j-1} شتاب جدید است که از شتاب قبلی به اضافه‌ی یک عدد تصادفی برای تولید شتاب‌های متغیر تشکیل شده است.

۲.۴.۲. استفاده از جهش

الگوریتم زتیک یکی از بهترین الگوریتم‌ها در سال‌های اخیر است که یکی از دلایل موفقیت آن استفاده از جهش است. [۲۶] یکی دیگر از ضعف‌های الگوریتم CFO، گرفتار شدن در بهینه‌ی موضعی است که برای خروج پربووب‌ها از آن می‌توان از جهش استفاده کرد. در رابطه‌ی ارائه شده در نوشتار حاضر، فقط یک بعد از پربووب تغییر می‌کند. ابتدا شماره‌ی پربووب (M_y) و شماره‌ی بعد (M_x) به صورت تصادفی انتخاب و سپس یک مقدار به موقعیت قبلی اضافه می‌شود. تعداد جهش از رابطه‌ی ۲۱ قابل محاسبه است که در آن mutation درصد جهش است:

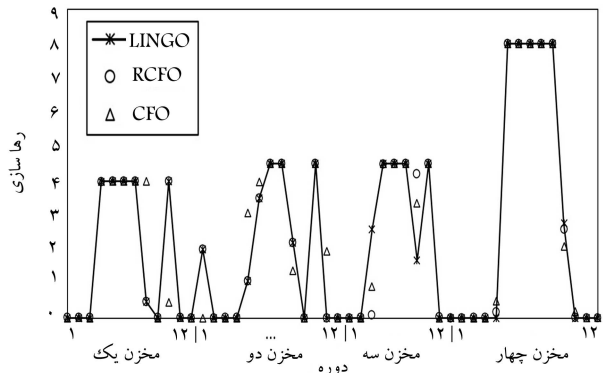
$$N_{mut} = \left(\frac{mutation}{100} \right) \times N_p \times N_d \quad (21)$$

$$R - mut_{j-1, M_x}^{M_y} = R_{j-1, M_x}^{M_y} + (r_1(b-a) + a) \times (r_1(x_{M_x}^{\max} - x_{M_x}^{\min}) + x_{M_x}^{\min}) \quad (22)$$

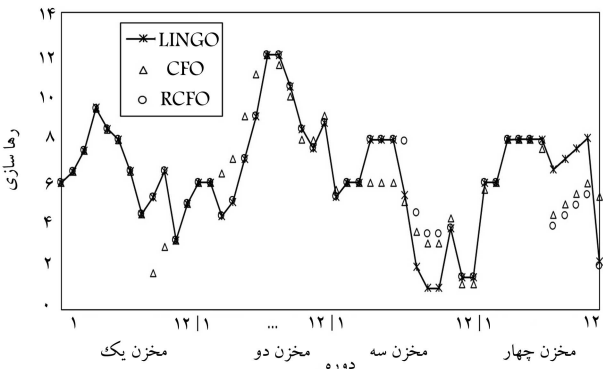
که در آنها، r_1 و r_2 اعداد تصادفی هستند. پرانتر اول، عددی رندم در محدوده‌ی a تا b ایجاد می‌کند و پرانتر دوم نیز عددی رندم در فضای تصمیم انتخاب می‌کند. پیشنهاد می‌شود $a = -0.5$ ، $b = 0.5$ در نظر گرفته شود.

۳.۴.۲. استفاده از تاریخچه‌ی موقعیت پربووب

پیچیدگی‌های الگوریتم CFO باعث افزایش زمان محاسبات می‌شود. الگوریتم CFO برای توابع مختلفی استفاده شده است، اما کمتر مشاهده شده است که از آن برای مسائل با تعداد بُعد بیش از ۳۰ استفاده شده باشد؛ زیرا در این حالت سرعت برنامه بهشت کاهش پیدا می‌کند. [۲۷] یکی دیگر از ضعف‌های CFO عدم استفاده از تاریخچه‌ی موقعیت پربووب‌هاست. مطالعات زیادی در زمینه‌ی استفاده از تاریخچه‌ی شتاب در الگوریتم CFO انجام شده است. [۲۸] در الگوریتم RCFO نیز از تاریخچه‌ی موقعیت ذرات در تکرارهای قبلی استفاده شده است. اما در انتهای هر گام، تمامی موقعیت‌ها ذخیره نمی‌شود، بلکه فقط بهترین آن‌ها در حافظه باقی می‌مانند. در تکرار پایانی از حلقه‌ی داخلی، یک ماتریس با $1 \times N_t$ سطر ایجاد خواهد شد. از ماتریس به دست آمده به تعداد N_p پربووب انتخاب می‌شود. بدین ترتیب خروجی حلقه‌ی داخلی تعداد N_p پربووب از بهترین پربووب‌هاست.



شکل ۷. مقایسه‌ی رهاسازی به دست آمده از RCFO, CFO و لینگو.



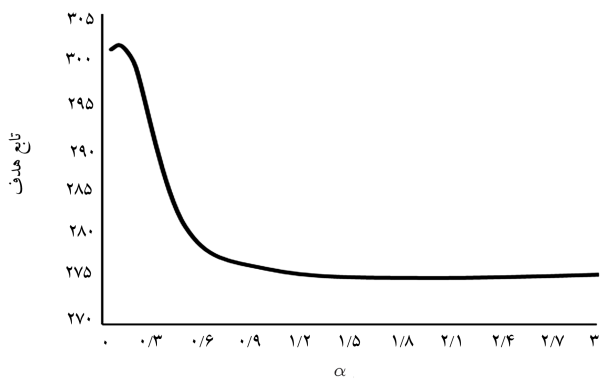
شکل ۸. مقایسه‌ی حجم مخازن به دست آمده از RCFO, CFO و لینگو.

دارد. متوسط زمان اجرا با استفاده از پردازنده‌ی ۱/۵ گیگاهرتزی برابر با 6000 ثانیه بوده است. همان طور که بیشتر گفته شد، الگوریتم CFO با مشکلاتی در مسائل چندبعدی روبه‌روست و زمان محاسبات با افزایش بعد به صورت نمایی افزایش می‌یابد و این درحالی است که با کاربرد CFO و استفاده از 48 پرور (که کمینه‌ی پرور انتخاب شده برای روش CFO، معادل تعداد بعد است)، 2 برابر این زمان برای حل مسئله، نیاز است.

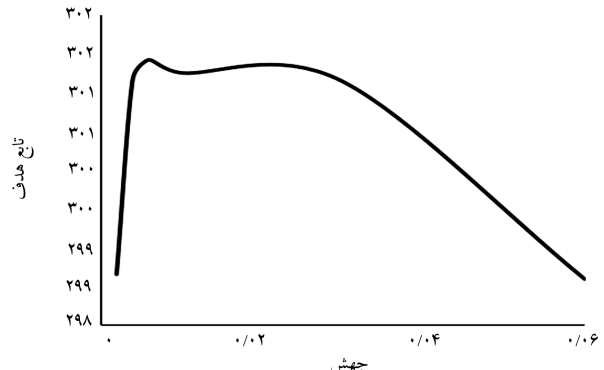
شکل‌های ۷ و ۸، به ترتیب رهاسازی و حجم مخزن به دست آمده از لینگو را در مقابل CFO و RCFO نشان می‌دهند. نتایج RCFO در هر دوره، مطابقت بیشتری با بهینه‌ی مطلق دارد و فقط در دوره‌های 4 و 8 از مخزن سوم اختلافاتی مشاهده می‌شود. در حجم مخازن نیز RCFO نتایج بهتری ارائه شده است. اختلافات رهاسازی در مخزن 3 ، باعث بروز خطاهایی در حجم مخازن 3 و 4 شده است. جدول 3 ، نتایج آماری به دست آمده از 10 بار اجرا RCFO را برای 2000 تکرار نشان می‌دهد. تمامی 10 اجرا توانع هدف نزدیک بهینه‌ی مطلق را ارائه کرده و انحراف معیار آنها برابر با 35% محاسبه شده است.

۲.۳. حل مسئله‌ی 10 مخزنی

بهینه‌ی مقدار تابع هدف مسئله‌ی مذکور با استفاده از نرم‌افزار لینگو برابر با $1194,4$ به دست آمده است. با استفاده از الگوریتم CFO در بهترین حالت، نتیجه‌ی 1109 حاصل شده است، که بیش از 7% با بهینه‌ی مطلق اختلاف دارد. در ادامه، الگوریتم RCFO برای حل مسئله‌ی 10 مخزنی استفاده شده است.



شکل ۵. آنالیز حساسیت α برای 1000 تکرار.



شکل ۶. آنالیز حساسیت درصد جهش برای 1000 تکرار.

در الگوریتم RCFO، درصد جهش اهمیت بالایی دارد. با مراجعه به شکل ۶ مشخص است که بهترین جهش در محدوده‌ی $0.2-0.3$ درصد قرار دارد. در حالتی که جهش اتفاق نمی‌افتد (ابتدا نمودار)، تابع هدف، کمینه است و زمانی که جهش بیشتر از 3% است، نتایج خوبی به دست نمی‌آید.

۲.۱.۳. مقایسه‌ی نتایج

مسئله‌ی حاضر بارها توسط پژوهشگران مختلف ارزیابی شده است. بهترین جواب از روش DDP در سال 1979 [۲۷] پس از 8 بار تکرار برابر با $30.8/234$ و مقدار حاصل از مسئله‌ی حاضر با روش DDDP پس از 20 تکرار برابر با $30.7/97$ بوده است. ضمناً آنها زمان اجرای هر تکرار در روش DDP را $3/21$ ثانیه گزارش کرده‌اند. با کاربرد الگوریتم HBMO و پس از 65000 برواز جفتگیری که معادل $14,197,986$ بار ارزیابی تابع هدف است، جواب نهایی تابع هدف در حدود 50000 ثانیه برابر با $30.8/242$ حاصل شده است. [۲۸] با استفاده از بهترین ترکیب الگوریتم زیتک با جمعیت 200 تابی و 750 نسل برای 2000 تکرار در 5 اجرا از 10 اجرا، جواب بهینه‌ی مطلق به دست آمده و در 5 اجرای باقی‌مانده، 99.8% بهینه‌ی مطلق استحصال شده است. [۱۷] در پژوهشی در سال 2005 با الگوریتم ACO و با درنظر گرفتن 200 مورچه و 3000 تکرار حل شده و بهترین جواب به دست آمده برای حالت پیوسته و زمان اجرا بین 300 تا 250 ثانیه برابر با $30.7/724$ محاسبه شده است. [۲۹] در سال 2011 ، نیز با پهکارگیری HSA بعد از $1,000,000$ تکرار به نتیجه‌ی $30.7/218$ رسیدند و زمان هر اجرا را 120 ثانیه گزارش کردند. [۳۰]

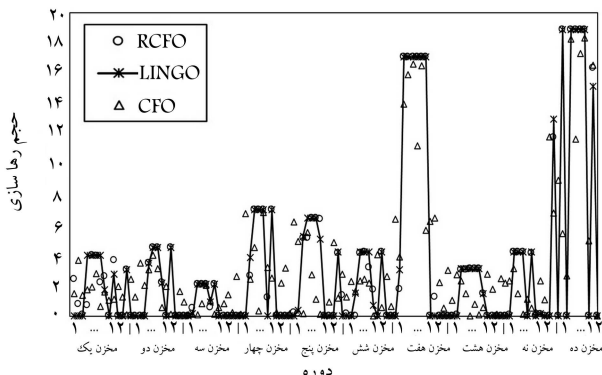
در پژوهش حاضر، با استفاده از روش RCFO در پایان 2000 تکرار و با 20 پرور، نتیجه‌ی $30.8/25$ حاصل شد، که فقط 1% با بهینه‌ی مطلق اختلاف

جدول ۳. خلاصه نتایج آماری ده بار اجرای RCFO برای ۲۰۰۰ تکرار.

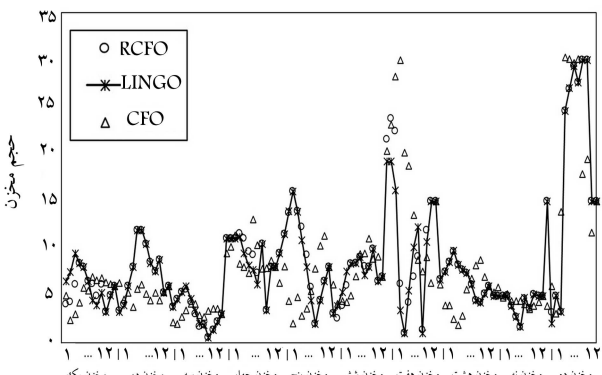
تابع هدف	۳۰/۸/۲۹	بهینه‌ی مطلق	۳۰/۸/۲۵	متوسط	۳۰/۸/۲۱	کمینه	۳۰/۸/۱۶	انحراف معیار	۰/۰۳۵
----------	---------	--------------	---------	-------	---------	-------	---------	--------------	-------

شده است.^[۲۰] در پژوهش دیگری در سال ۲۰۱۳، با استفاده از الگوریتم های PCPSO^۱ و PCPSO^۲ و FCPSO^۱، FCPSO^۲ و FCPSO^۳ به ترتیب جواب‌های ۱۱۷۸، ۵۵، ۱۱۹۴، ۰۵ و ۱۱۹۱، ۷۵ و با تعداد جمعیت ۱۰۰، ۵۰ و ۱۰۰ گزارش شده است.^[۲۱] متوسط زمان اجرا در هر سه روش مذکور و برای جمعیت ۵۰ تابی ذرات برابر با ۴۵ ثانیه است. در پژوهش حاضر، با استفاده از روش RCFO در پایان ۲۰۰۰ تکرار و با ۶ پربو، نتیجه‌ی ۱۱۹۲، ۷۴ حاصل شده است، که فقط ۱۳٪ با بهینه‌ی مطلق اختلاف دارد. متوسط زمان اجرا با استفاده از پردازنده‌ی ۱/۵ گیگاهرتزی برابر با ۸۰۰ ثانیه بوده است. با توجه به این موضوع که برخی از روش‌ها مانند FCPSO نتیجه‌ی بهتری در زمان بسیار کمتری ارائه کرده است، لازم به ذکر است که الگوریتم CFO با توجه به ماهیتی که دارد، زمان طولانی برای جستجو و بهینه‌یابی نیاز دارد؛ اما الگوریتم RCFO توانسته است با برداشتن محدودیت تعداد پربو و فقط با استفاده از ۶ ذره، جستجو را انجام دهد و زمان اجرا را نسبت به CFO تقریباً به نصف کاهش دهد.

جدول ۴، نتایج آماری ۱۰ بار اجرای RCFO را برای RCFO، CFO و LINGO نشان می‌دهد. در تمامی ۱۰ اجر، نتایج قابل قبولی به دست آمده است، به طوری که انحراف معیار برابر با ۰/۵۱۵ است. جواب نهایی پس از ۲۰۰۰ تکرار برابر با ۱۱۹۲، ۷۴ شده است. شکل‌های ۱۱ و ۱۲، به ترتیب رهاسازی و حجم مخازن به دست آمده از



شکل ۱۱. مقایسه‌ی رهاسازی به دست آمده از RCFO، CFO و لینگو.



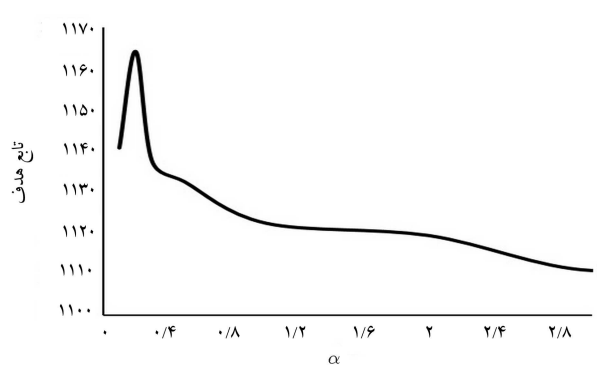
شکل ۱۲. مقایسه‌ی حجم مخازن به دست آمده از RCFO، CFO و لینگو.

۱۲.۳. آنالیز حساسیت در روش RCFO

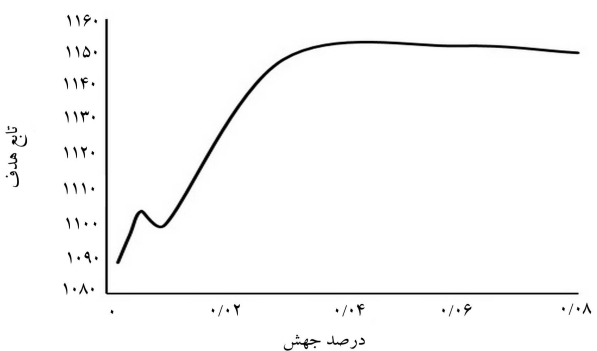
در مسئله‌ی حاضر نیز به منظور پیدا کردن پارامترهای بهینه‌ی α و درصد جهش از آنالیز حساسیت استفاده شده است. پارامترهای پارامترهای RCFO احتمالاتی است، همان‌طور که در شکل ۹ مشاهده می‌شود، بهترین α در محدوده‌ی ۰/۰۵ تا ۰/۱۰ است. از $\alpha = ۰/۰۵$ به بعد، تغییرات تابع هدف تقریباً یکسان است و تابع هدف روند کاهشی دارد و برنامه قادر به ارائه‌ی جواب مناسب نیست. با مراجعه به شکل ۱۰، بهترین جهش بین ۰/۰۵ تا ۰/۰۳۵ است. در ابتدای نمودار نتایج خوبی به دست نمی‌آید، اما بعد از ۰/۰۵، تغییرات تابع هدف به صورت جزئی مشاهده می‌شود.

۲.۳. مقایسه‌ی نتایج

مسئله‌ی ۱۰ مخازن‌های حاضر، با راه توسط پژوهشگران مختلف ارزیابی شده است. بهترین جواب به دست آمده با روش DDP برابر با ۱۱۹۰، ۲۵ و با GA برای HBMO پس از ۶۵۰۰۰ پرواز جفت گیری و یا به عبارتی ۱۱۹۰، ۰۰ با کاربرد الگوریتم ارزیابی، تابع هدف در مدت زمان ۱۵۰۰۰ ثانیه، نتیجه‌ی ۱۱۹۲، ۵۶ حاصل شده است.^[۲۲] در پژوهشی در سال ۲۰۰۷، با استفاده از الگوریتم چندجامعه‌ی پیشنهادی ACO و با درنظر گرفتن ۳۰۰۰ مورچه و ۳۰۰۰ مقدار مقدار ۱۱۹۲، ۳۹ گزارش



شکل ۹. آنالیز حساسیت α برای ۱۰۰۰ تکرار.



شکل ۱۰. آنالیز حساسیت درصد جهش برای ۱۰۰۰ تکرار.

جدول ۴. خلاصه‌ی نتایج به دست آمده از ۱۵ بار اجرای RCFO برای ۲۰۰۰ تکرار.

تابع هدف	۱۱۹۴,۴	۱۱۹۲,۷۴	۱۱۹۲,۲۴	۱۱۹۱,۱	۰,۵۱۵	کمینه	متوسط	بیشینه	مطلق	بهینه
----------	--------	---------	---------	--------	-------	-------	-------	--------	------	-------

به همین منظور در ساختار الگوریتم تغییراتی ایجاد و الگوریتم RCFO مطرح و برای بهینه‌سازی سیستم‌های چندمترزه استفاده شده است. در هر دو مسئله‌ی ۴ و ۱۰ مترزه، برتری روش RCFO مشخص شده است. الگوریتم RCFO با توجه به ماهیتی که دارد، به زمان طولانی برای جستجو و بهینه‌یابی نیاز دارد؛ اما الگوریتم RCFO توانسته است با برداشتن محدودیت تعداد پربوب جستجو را انجام دهد و زمان اجرا را نسبت به CFO تقریباً به نصف کاهش دهد. تغییراتی که در الگوریتم RCFO نسبت به CFO داده شده است منجر به ایجاد الگوریتمی شده است که قادر به حل مسائل پیچیده‌ی بهینه‌سازی است. عدمه‌ی این تغییرات به منظور جلوگیری از گرفتار شدن در بهینه‌ی محلی و افزایش سرعت همگرایی است. با توجه به موفقیت اجرای الگوریتم RCFO در حل سیستم ۴ و ۱۰ مترزه می‌توان تأثیرگرفت که الگوریتم RCFO بتناسب متناسبی جهت کاربرد در حل مسائل پیچیده‌ی بهره‌برداری از سیستم‌های چندمترزه‌ی واقعی دارد.

روش لینگو را در مقابل CFO و RCFO نشان می‌دهند که مطابق آنها اختلافات زیادی بین مقادیر به دست آمده از روش CFO با بهینه‌ی مطلق در هر دوره مشاهده می‌شود و این در حالی است که نتایج حاصل از RCFO به نتایج بهینه‌ی مطلق در هر دوره نزدیک است و فقط در برخی از دوره‌ها (مانند دوره‌ی ۱ تا ۳ در مترزن اول) اختلافاتی مشاهده می‌شود.

۴. نتیجه‌گیری

در نوشتار حاضر، الگوریتم بهینه‌یابی نیروی مرکزی در حل سیستم‌های چندمترزه ارزیابی شده است. علی‌رغم توانایی بالای CFO در حل مسائل بهینه‌سازی، این الگوریتم در بهره‌برداری بهینه‌ی از سیستم‌های چندمترزه نتایج خوبی ارائه نداده است.

پانوشت‌ها

1. linear programming
2. none linear programming
3. dynamic programming
4. ACO
5. GA
6. HBMO
7. PSO
8. central force optimization
9. artificial Bee colony
10. gravitational search algorithm
11. repetitive central force optimization algorithm

منابع (References)

1. Jalali, M.R., Afshar, A. and Marino, M.A. "Improved ant colony optimization algorithm for reservoir operation", *Scientia Iranica*, **13**(3), pp. 295-302 (2006).
2. Bozorg Haddad, O., Afshar, A. and Marino, M.A. "Honey-bees mating optimization (HBMO) algorithm: A new heuristic approach for water resources optimization", *Water Resources Management*, **20**(5), pp. 661-680 (2006).
3. Rani, D. and Moreira, M.M. "Simulation optimization modeling: A survey and potential application in reservoir systems operation", *Water Resource Management*, **24**(6), pp. 1107-1138 (2010).
4. Barros, M., Tsai, F., Yang, S., Lopes, J. and Yeh, W. "Optimization of large-acale hydropower system opera-
- tion", *Journal Water Resources Planning Management*, **129**(3), pp. 178-188 (2003).
5. Bazaraa, M.S., Sherali, H.D. and Shetty, C.M., *Non-linear Programming: Theory and Algorithms*, 3th Edn. John wiley and Sons Inc., Hoboken, New Jersey (2006).
6. Bellman, R., *Dynamic Programming*, Princeton, N.J., Princeton University Press (1957).
7. Dorigo, M. "Ant system: Optimization by a colony of cooperating Agents", *IEEE T SYST*, **26**(1), pp. 29-41 (1996).
8. Holland, J.H., *Adaption in Natural and Artificial Systems*, University of Michigan Press (1975).
9. Abbass, H.A. "MBO: Marriage in honey bees optimization-A haplotetrosis polygynous swarming approach", *Conference Evolutionary Computation, Seoul*, **1**, pp. 207-214 (2001).
10. Kennedy, J. and Eberhart, R. "Particle Swarm Optimization", *IEEE International Conference*, **4**, pp. 1942-1948 (Nov.Dec 1995).
11. Geem, Z.W., Kim, J.H. and Loganathan, G.V. "A new heuristic optimization algorithm: Harmony search", *Simulation*, **76**(2), pp. 60-68 (2001).
12. Formato, R.A. "Central force optimization: A new meta-heuristic with applications in applied electromagnetics", *Progress in Electromagnetics Research*, **77**(1), pp. 425-491 (2007).
13. Formato, R.A. "Parameter-free deterministic global search with simplified central force optimization", D.-S. Huang, et al. (Eds.), ICIC, Lecture Notes in Computer Science, 6215, pp. 309-318 (2010).

14. Formato, R.A. "Improving Bandwidth of Yagi-Uda Arrays", *Wireless Engineering and Technology*, **3**(1), pp. 18-24 (2012).
15. Mahmoud, K.R. "Central force optimization: Nelder-mead hybrid algorithm for rectangular microstrip antenna design", *Electromagnetics*, **31**(8), pp. 578-592 (2011).
16. Haghghi, A. and Ramos, H.M. "Detection of leakage Freshwater and Friction Factor Calibration in Drinking Networks Using Central Force Optimization", *Water Resource Management*, **26**(8), pp. 2347-2363 (2012).
17. Wardlaw, R. and Sharif, M. "Evaluation of genetic algorithms for optimal reservoir system reservoir system operation", *Water Resources Planning Management*, **125**(1), pp. 25-33 (1999).
18. Ahmad, A., Razali, S.F.M., Mohamed, Z.S. and Elshafie, A. "The application of artificial Bee colony and gravitational search algorithm in reservoir optimization", *Water Resources Management*, **30**(7), pp. 2497-2516 (2016).
19. Labadie J.W. "Optimal operation of multi-reservoir systems: State-of-the-art review", *Water Resources Planning Management*, **130**(2), pp. 93-111 (2004).
20. Jalali, M.R., Afshar, A. and Marino, M.A. "Multi-reservoir operation by adaptive pheromone re-initiated ant colony optimization algorithm", *International Journal of Civil Engineering*, **5**(4), pp. 284-301 (2007).
21. Kougias, I.P. and Theodossiou, N.P. "Application of the harmony search optimization algorithm for the solution of the multiple dam system scheduling", *Optimization and Engineering*, **14**(2), pp. 331-344 (2013).
22. Afshar, M.H. "Extension of the constrained particle swarm optimization algorithm to optimal operation of multi-reservoirs system", *Electrical Power and Energy Systems*, **51**, pp. 71-81 (2013).
23. Moeini, R. and Afshar, M.H. "Extension of the constrained ant colony optimization algorithms for the optimal operation of multi-reservoir systems", *Hydro Informatics*, **15**(1), pp. 155-173 (2013).
24. Chow, V.T. and Cortes, R. "Applications of DDDP in water resources planning", Research Report 78, University of Illinois, Water Resources Center, Urbana (1974).
25. Heidari, M., chow, V.T., Kokotovic, P.V. and Mereditth, D.D. "Discrete differenti a dynamic programing approach to water Resources systems optimization", *Water Resources Research*, **7**(2), pp. 273-282 (1971).
26. Michalewicz, Z. and Schoenauery, M. "Evolutionary algorithms for constrained parameter optimization problems", *Evolutionary Computation*, **4**(1), pp.1-32 (1996).
27. Murray, D.M. and Yakowitz, S.J. "Constrained differential dynamic programming and Its application to Multi-reservoir control", *Water Resources Research*, **15**(5), pp. 1017-1027 (1979).
28. Liu, Y. and Tian, P. "A multi-start central force optimization for global optimization", *Applied Soft Computing*, **27**, pp. 92-98 (2015).
29. Chen, Y., Yu, J., Mei, Y., Wang, Y. and Su, X. "Modified central force optimization (MCFO) algorithm for 3D UAV path planning", *Neurocomputing*, **171**(1), pp. 878-888 (2015).
30. Green, R.C., Wang, L., Alam, M. and Formato, R.A. "Central force optimization on a GPU: A case study in high performance meta-heuristics", *J. Supercomput*, **62**(1), pp. 378-398 (2012).
31. Ding, D., Qi, D., Luo, X., Chen, J., Wang, X. and Du, P. "Convergence analysis and performance of an extended central force optimization algorithm", *Applied Mathematics and Computation*, **219**(4), pp. 2246-2259 (2012).
32. Bozorg Haddad, O., Afshar, A. and Marino, M.A. "Multireservoir optimisation in discrete and continuous domains", *Water Management*, **164**(2), pp. 57-72 (2011).
33. Jalali, M.R. "Optimum design and operation of hydrosystems by Ant Colony Optimization algorithms; A new metaheuristic approach", PHD Dissertation, Civil Engineering, Iran University of Science and Technology (2005).
34. Kougias, I. and Theodossiou, N. "Optimization of multi-reservoir management using harmony search algorithm (HAS)", *3rd Intern. Conf. on Environmental Management Engineering, Planning and Economics*, Greece (2011).